

بررسی مقایسه‌ای دوزیمتری PpIX تولید شده درون تومور پس از مصرف ALA در درمان فوتوداینامیک به دو روش فلوریمتری و فلورسانس اسپکتروسکوپی

چکیده

زمینه و هدف: مسئله حائز اهمیت در کاربرد فوتوداینامیک تراپی (Photo Dynamic Therapy-PDT) به عنوان یکی از پایه‌های اساسی درمان نوین ضایعات سرطانی، مسئله دوزیمتری بهینه است. در این راستا، لازم است اطلاعات کافی در مورد غلظت دارو درون بافت هدف حاصل شود. از طرفی با توجه به اینکه Aminolevulinic Acid خود یک حساس‌کننده نوری نیست و منجر به تولید حساس‌کننده نوری پروتوپورفیرین IX (PpIX) در سلول‌های بافت هدف می‌شود، مسئله تعیین مقدار PpIX تولید شده در بافت هدف برای دوزیمتری PDT حائز اهمیت می‌باشد. در این مطالعه، دو روش فلوریمتری و فلورسانس اسپکتروسکوپی به منظور تعیین غلظت PpIX درون بافت هدف بررسی شده‌اند.

روش کار: این مطالعه کارآزمایی بالینی در فاز درون تنی بر روی رده سلولی CT26 موش/c Balb انجام شده است. برای این مثولور ابتدا با تزریق زیر جلدی تعداد ۱۰⁷ سلول زنده CT26 در پهلوی راست ۱۸ موش/c Balb ۶-۸ هفت‌های با وزن ۲۰-۲۸ گرم، تومور کولون القاء گردید. سپس غلظت PpIX درون تومور به دو روش فلوریمتری و فلورسانس اسپکتروسکوپی تعیین گردید. تجزیه و تحلیل آماری داده‌ها، پس از اطمینان از نرمال بودن توزیع داده‌ها در سطح اطمینان ۹۵ درصد، با استفاده از آزمون تی توسمط نرم افزار SPSS 12 انجام گرفته است.

یافته‌ها: بر اساس نتایج به دست آمده مناسب‌ترین طول موج تحریک فلورسانس PpIX طول موج ۴۰۷ nm است. همچنین ۸ ساعت پس از تزریق ALA تجمع PpIX درون تومور به حداقل خود می‌رسد و پس از آن پروسه دفع دارو شروع می‌شود. بنابراین چنانچه برای تگهداری بیمار در محلی تاریک مشکلی وجود نداشته باشد، ۸ ساعت پس از تزریق مناسب‌ترین زمان برای تابش لیزر درمانی است. از سوی دیگر در هر دو روش با اندازه‌گیری طیف فلورسانس بافت و بر اساس منحنی استاندارد تعیین شده برای PpIX غلظت درون بافت تومور تعیین شد.

نتیجه‌گیری: با توجه به اهمیت مسئله تعیین مقدار داروی تجمع یافته درون بافت هدف، هم در زمینه کاربردهای کلینیکی PDT و هم در زمینه مدل‌سازی دوزیمتری PDT که در واقع گامی در راستای بهینه‌سازی این روش درمانی می‌باشد، هر دو روش فلوریمتری و فلورسانس اسپکتروسکوپی مؤثر می‌باشند. البته فلورسانس اسپکتروسکوپی به دلیل غیرتاجمی بودن و امکان اندازه‌گیری زمان حقیقی بر فلوریمتری برتری دارد.

کلید واژه‌ها: ۱- فوتوداینامیک تراپی ۲- فلوریمتری ۳- فلورسانس اسپکتروسکوپی ۴- پروتوپورفیرین IX

دکتر نادیا نقوی I

*دکتر محمدحسین میران بیگی II

دکتر آمنه سازگارنیا III

تاریخ دریافت: ۸۹/۳/۱۲، تاریخ پذیرش: ۸۹/۵/۳۱

مقدمه

بسیاری از ضایعات قبل از بدخیمی (Premalignant) نیز با این روش درمان می‌شوند و از طرف دیگر با پیشرفت تکنیک‌های آندوسکوپی می‌توان به بسیاری از ضایعات دستری پیدا کرد. این در حالی است که در اغلب موارد، درمان جراحی این ضایعات همراه مرگ و میر

فوتوداناینامیک تراپی درمانی موضوعی است که با روش غیرگرمایی باعث تخریب سلولی می‌شود. این روش محسن قابل توجهی در مقایسه با سایر روش‌ها در درمان ضایعات سرطانی دارد. این موضوع، به خصوص وقتی مورد توجه جدی قرار می‌گیرد که

این مقاله خلاصه‌ای است از پایان‌نامه خانم نادیا نقوی جهت دریافت درجه دکترا مهندسی پزشکی به راهنمایی دکتر محمدحسین میران بیگی و مشاوره دکتر آمنه سازگارنیا، سال ۱۳۸۹.

(I) دکترا مهندسی پزشکی، دانشگاه تربیت مدرس، تهران، ایران

(II) دا نشیار و متخصص مهندسی پزشکی، دانشکده برق و کامپیوت، تقاطع بزرگراه‌های شهید چمران و آل احمد، دانشگاه تربیت مدرس، تهران، ایران (*مؤلف مسئول)

(III) استادیار و متخصص فیزیک پزشکی، مرکز تحقیقات فیزیک پزشکی، پژوهشکده بوعلی، دانشگاه علوم پزشکی و خدمات بهداشتی-درمانی مشهد، مشهد، ایران

در این راستا، به منظور محاسبه دوز اکسیژن یگانه، لازم است اطلاعات کافی در مورد غلظت دارو درون بافت هدف، میزان نور جذب شده توسط دارو، میزان اکسیژن درون بافت هدف، و برهمکنش بین آن‌ها که موجب تولید اکسیژن یگانه می‌شود، حاصل شود. تحقیقات انجام شده بر روی حیوانات نشان می‌دهد که علی‌رغم استفاده از یک پروتکل کلینیکی معین که بر اساس دوز داروی مصرفی و دوز نور تابشی است، رنج پاسخ درمان بسیار گسترده می‌باشد؛ به طوری که هم شامل "پاسخ درمانی کامل" و هم "هیچ گونه پاسخ درمانی" است.^(۶-۷)

نتایج تحقیقات انجام شده در حوزه دوزیمتری PDT بر اساس مشاهدات و تجربیات کلینیکی محدود می‌باشد و ارزیابی و مقایسه بر پایه آن‌ها ناقص خواهد بود. از سوی دیگر با توجه به اهمیت مدل‌سازی و نقش ارزش‌آفرین در زمینه دوزیمتری، در دو دهه گذشته مسئله مدل‌سازی در حوزه PDT بسیار مورد توجه محققین این حوزه بوده است. اما در تمام مدل‌سازی‌های انجام شده، یکی از پارامترهای مهم به عنوان ورودی مدل غلظت، حساس‌کننده نوری درون بافت هدف در زمان درمان می‌باشد.^(۸-۱۲) در واقع تعیین این پارامتر یکی از چالش‌های مدل‌های ارائه شده در زمینه دوزیمتری PDT است.

این مسئله در مورد استفاده از داروی ALA بیشتر حائز اهمیت می‌شود؛ چرا که ALA خود یک حساس‌کننده نوری نیست، بلکه پس از مصرف در مسیر سنتز بیولوژیک تبدیل به پروتوپورفیرین IX (PpIX) می‌شود و پس از آن PpIX نقش حساس‌کننده نوری را درون بافت هدف ایفاء می‌کند.^(۹-۱۱)

در این تحقیق با توجه به لزوم تعیین غلظت PpIX درون بافت هدف، بر اساس ویژگی فلوئورسانس PpIX از دو روش فلوئوریمتری و فلوئورسانس اسپکتروسکوپی برای دوزیمتری PpIX درون تومور بهره جسته شده است و در نهایت بر اساس نتایج به

قابل توجهی است.^(۱۲)

جذب انتخابی مواد حساس‌کننده به نور توسط سلول‌هایی که سرعت تکثیر بیشتری دارند و همچنین فعال شدن دارو پس از تابش موضعی نور لیزر باعث درجاتی از تخریب انتخابی در سلول‌های سرطانی می‌شود و این موضوع ترمیم محل درمان را تسريع می‌کند و انجام مکرر این روش درمانی را در یک محل میسر می‌سازد.^(۳)

اگرچه PDT در حوزه درمان تومورها قابلیت‌های خوبی از خود نشان داده است، اما روند پذیرش آن به عنوان مسیر اصلی درمان تومور سرعت زیادی نداشته است. این امر تا حدودی نتیجه ضعف در حوزه دوزیمتری PDT است.^(۴) دوزیمتری دقیق برای اطمینان از نتیجه درمان ضروری است.

در حال حاضر محققین همگی بر این موضوع اتفاق نظر دارند که اثر درمانی PDT نتیجه تولید اکسیژن یگانه تحت شرایط فعال‌سازی حساس‌کننده نوری به وسیله نور می‌باشد.^(۴) بنابراین هدف PDT تولید دوز کافی از اکسیژن یگانه به منظور مرگ سلولی یا کنترل رشد سلول‌های بدخیم درون تومور ضمن حفظ سلامت بافت‌های سالم اطراف تومور می‌باشد.

پروتکل‌های کلینیکی استاندارد برای PDT به جای تکیه بر محاسبه یا اندازه‌گیری دوز اکسیژن یگانه، بر اساس مصرف مقدار از پیش تعیین شده‌ای دارو و نور می‌باشند.^(۴) این گونه روش‌های دوزیمتری، تفاوت در میزان جذب دارو توسط تومور، میزان اکسیژن و خواص اپتیکی بافت برای بیماران مختلف را در نظر نمی‌گیرند و در نتیجه همین عوامل ممکن است موجب شوند که تولید اکسیژن یگانه در حین درمان برای رسیدن به پاسخ مطلوب کافی نباشد. بنابراین در بهترین حالت، دوزیمتری PDT بهتر است بر اساس دوز تجمع یافته اکسیژن یگانه درون بافت باشد تا از نتیجه درمان اطمینان حاصل شود.

۱۲-۱۶ روز تومورها رشد کرده و قطری در حدود ۶-۸ میلی‌متر (mm) داشتند.

تعیین غلظت PpIX تجمع یافته درون تومور به روش فلوئوریمتری

به منظور آماده‌سازی موش‌ها برای این تحقیق، دو هفته قبل از انجام آزمایش رژیم غذایی فاقد کلروفیل برای آن‌ها اعمال شد. این امر برای پیشگیری از تداخل احتمالی پیک فلوئورسانس PpIX با مواد حاوی کلروفورم در نظر گرفته شد. در پایان دو هفته به ۸ میلی‌گرم ALA با دوز ۵۰۰ mg/kg (به شکل صفاقتی تزریق شد. ۴ موس نیز به عنوان گروه کنترل در نظر گرفته شدند. به این ترتیب ۱۲ موس موجود در سه دسته تقسیم‌بندی شدند: G1 (۴ موس که به آن‌ها ALA تزریق شده بود و فاصله زمانی بین تزریق و استخراج تومور ۲ ساعت بود)، G2 (۴ موس که به آن‌ها ALA تزریق شده بود و فاصله زمانی بین تزریق و استخراج تومور ۳ ساعت بود) و G3 (۴ موس بدون تزریق ALA، ۲ موس به عنوان کنترل برای گروه G1 و ۲ موس برای گروه G2). ۲ موس‌های گروه G1 به همراه ۲ موس کنترل ۲ ساعت پس از تزریق ALA به وسیله کلروفورم خفه شدند و تومورها استخراج شدند. تومور موش‌های گروه G2 نیز به همراه ۲ موس کنترل ۳ ساعت پس از تزریق ALA استخراج شدند.

در مرحله بعد به منظور استخراج PpIX موجود در بافت، به هر تومور ۲ میلی‌لیتر (ml) محلول شامل ۱۰٪ Sodium Dodecyl Sulfate (SDS) اضافه شد. هر یک از نمونه‌ها در لوله‌های آزمایش ابتدا به خوبی خرد و به تکه‌های کوچک تری تقسیم شد و سپس به وسیله همزن هموژنیزه گشت. محلول هموژنیزه به دست آمده به مدت ۲۴ ساعت در دمای ۲۰°C گذاشته شد و روز بعد پس از باز شدن انجماد

دست آمده به مقایسه کارایی هر یک از این دو روش پرداخته شده است.

روش کار

کشت و تکثیر سلول‌ها

آزمایش‌ها در فاز درون تنی و بر روی تومورهای کولون زیرجلدی موش‌های Balb/c انجام گرفته است. برای این منظور، رده سلولی CT26 مشتق شده از تومور کارسینومای کولون موش c Balb از انسنتیتو پاستور ایران تهیه و درون فلاسک‌های استریل در محیط کشت RPMI-1640 حاوی ۱۰٪ FCS و آنتی بیوتیک‌های استریپتومایسین و پنی سیلین، به صورت سوسپانسیون در انکوباتور ۳۷ درجه سانتیگراد (°C) دارای ۵٪ دی اکسید کربن مورد کشت و تکثیر قرار گرفت. بعد از دو تا سه روز رشد و تکثیر، سلول‌ها به صورت تک لایه کف فلاسک را پوشانند. جدا کردن سلول‌ها از کف فلاسک توسط تریپسین-EDTA و در شرایط استریل در زیر هود، صورت گرفت. بعد از تریپسینه کردن، سلول‌ها شمارش شده و درصد سلول‌های زنده به روش تریپان بلو و با استفاده از لام نئوبار تعیین و سوسپانسیون سلولی با غلظت ۱۰۶ سلول زنده در هر میلی‌لیتر محلول PBS آماده گردید.

ایجاد مدل توموری حیوانی

مدل توموری در موش‌های Balb/c (۶-۸ هفته‌ای با وزن ۲۰-۲۸ گرم) که از انسنتیتو پاستور ایران خریداری شدند، القاء گردید. حیوانات در شرایط استاندارد آزمایشگاهی در قفس‌های مخصوص در یک اتاق جداگانه در دمای 22 ± 2 °C و رطوبت ۶۵٪ و همچنین سیکل روز-شب طبیعی قرار داشتند. سپس به هر موش، تعداد ۱۰۶ سلول زنده در حجم ۱۰۰ میکرو لیتر (ml) محلول PBS تزریق شد.^(۱۰) تزریق به صورت زیر جلدی در پهلوی راست حیوانات انجام شد. بعد از

مشابه روش فلوریومتری از موش‌هایی استفاده شد که با تزریق زیرجلدی تعداد 10^7 سلول از رده سلولی CT26 در آن‌ها تومور القاء شده بود. ALA به طور صفائی و با دوز 200 mg/kg به 3 مosh از موش‌های مذکور تزریق شد و سپس هر یک ساعت طیف فلورسانس نشری از سطح پوست تومور به طور کاملاً غیرتهاجمی با استفاده از سیستمی که برای این منظور طراحی کرده ایم، اندازه‌گیری شد.

سیستم طراحی شده همان طور که در شکل شماره 1 نشان داده شده است شامل فلورسانس اسپکتروسکوپ (Avaspec-2048, Avantes, Netherlands) فیبر نوری دو شاخه- 2 -IND (Avantes, Netherlands) تحریک فلورسانس ساخت شرکت رویتر (RLD405, Roithner Laser Technik, Austria) آنالیز داده‌ها است.

پروب متصل به فیبر نوری دو شاخه شامل 12 فیبر با قطر $200 \text{ میکرومتر} (\mu\text{m})$ برای انتقال نور از منبع نور (لیزر 405 nm) برای تحریک فلورسانس) به بافت است که همگی حول فیبری با قطر $600 \mu\text{m}$ قرار دارند و این فیبر مخصوص انتقال طیف نشری فلورسانس از سطح بافت به اسپکتروسکوپ می‌باشد.

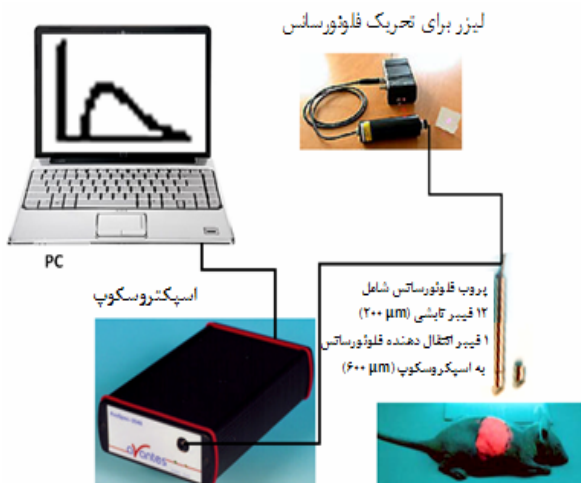
اسپکتروسکوپ نیز توسط کابل USB به کامپیوتر متصل شده و برای آنالیز، داده‌ها را به کامپیوتر منتقل می‌کند. به منظور افزایش دقیق و یکسان بودن شرایط در سرتاسر آزمایش، پروب در فاصله 10 mm از سطح تومور ثابت شده و تابش به طور عمود بر سطح بافت انجام شد.

از سوی دیگر برای جلوگیری از حرکت موش‌ها در زمان اندازه‌گیری، با تزریق داخل صفائی 10 mg/kg زایلازین (ساخت شرکت دارویی بهیار سامان) و 50 mg/kg کتامین آن‌ها بیهوش شدند. در این روش با توجه به اینکه نیازی به استخراج تومور نیست،

محلول در دمای اتاق تاریک، $200 \text{ میکرو لیتر} (\mu\text{l})$ از هر محلول برداشته و به $3/8 \text{ ml}$ محلول شامل اسیدپرکلریک 2 نرمال (HClO_4) و متانول (CH_3OH) اضافه گردید.^(۱۲) سپس محلول حاصل به مدت ۱۰ دقیقه و با دور 2000 rpm سانتریفیوژ شد. محلول شفاف به دست آمده به کووت کوارتز منتقل شد و درون اسپکتروفلوئورومتر مدل اف-پی-۶۲۰۰-ساخت (FP-6200, Jasco Corporation, Japan) قرار گرفت. طول موج‌هایی که برای تحریک فلورسانس PpIX در سایر مقاله‌ها بیشتر به آن‌ها اشاره شده است، 407 nm و 420 nm می‌باشند.^(۱۳) در این تحقیق به منظور انتخاب مناسب‌ترین طول موج هر دو طول موج مذکور به نمونه‌ها اعمال گشت و اثر این دو طول موج بر طیف فلورسانس نشری از نمونه‌ها بررسی گردید. در مرحله بعد در راستای نیل به هدف اصلی، که تعیین PpIX موجود در بافت از روی طیف فلورسانس می‌باشد، منحنی استاندارد PpIX تعیین گشت. برای تعیین منحنی استاندارد مقادیر تعیین شده‌ای از PpIX به بلانک آزمایش (200 اس-دی-اس و $3/8 \text{ ml}$ محلول استخراج) اضافه شد.

با تعیین سطح سیگنال فلورسانس این محلول‌ها در طول موجی که دامنه طیف فلورسانس حاصل از بافت‌ها حداقل می‌شود، می‌توان منحنی استاندارد PpIX را که عبارت است از دامنه سیگنال فلورسانس بر حسب غلظت PpIX موجود در محلول تعیین نمود. با استفاده از منحنی استاندارد به دست آمده می‌توان غلظت PpIX را بر اساس دامنه سیگنال فلورسانس نمونه‌های بافت تومور در موش‌هایی که به آن‌ها ALA تزریق شده است تعیین نمود.

تعیین غلظت PpIX تجمع یافته درون تومور به روش فلورسانس اسپکتروسکوپی در استفاده از روش فلورسانس اسپکتروسکوپی،



شکل شماره ۱- سیستم طراحی شده برای اندازه‌گیری سیگنال فلورسانس به طور غیرتهاجمی و از روی سطح بافت.

یافته‌ها

نتایج حاصل از فلوریومتری

به منظور انتخاب مناسب‌ترین طول موج تحریک فلورسانس PpIX، طول موج‌های ۴۰۷ nm و ۴۲۰ nm با هم مقایسه شدند. نتایج این مقایسه در شکل شماره ۲ نشان داده شده است. بر اساس این نتایج مشاهده می‌شود که دامنه سیگنال فلورسانس برای طول موج تحریک nm ۴۰۷ بیشتر از nm ۴۲۰ است و بنابراین امکان آشکارسازی پیک فلورسانس با این طول موج بیشتر می‌باشد.

از سوی دیگر همان طور که در شکل مشخص است پیک دامنه سیگنال فلورسانس نشری در طول موج ۵۹۸ nm است در صورتی که پیک دامنه سیگنال فلورسانس نشری PpIX در حدود ۶۳۵ nm است.^{(۱۴) و (۱۵)} پس از بررسی این تفاوت نتیجه‌گیری شد که شیفت مشاهده شده در طول موج، ناشی از وجود اسید کلریک در محلول استخراج به کار گرفته شده برای استخراج PpIX موجود در بافت می‌باشد.

نتیجه دیگر به دست آمده در مورد فاصله زمانی بین تزریق دارو و انجام درمان (تابش لیزر درمانی) است.

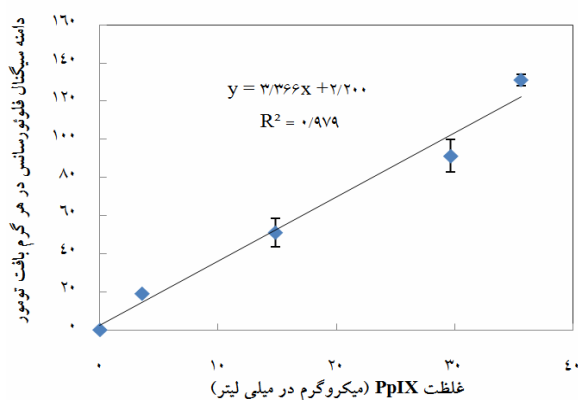
اندازه‌گیری طیف فلورسانس در فاصله‌های زمانی یک ساعت‌های امکان بررسی پروسه تجمع و دفع دارو را درون بافت تومور در بازه‌ای ۲۴ ساعت فراهم نمود.

برای تعیین غلظت PpIX بر اساس طیف فلورسانس به دست آمده از این سیستم اندازه گیری، منحنی استاندارد PpIX تعیین شد. برای این منظور غلظت‌های مشخصی از PpIX به بافت تومور استخراج شده از ۳ موش دیگر که به آن‌ها تزریق نشده بود، اضافه گردید. هر یک از بافت‌های توموری پس از استخراج درون ml ۴ محلول %۱۰ SDS و آب قطر قرار داده شدند. هر یک از نمونه‌ها به خوبی هموژنیزه شده و ۲۴ ساعت در دمای ۰-۲۰°C فریز شدند. روز بعد پس از یخ زدایی هریک از محلول‌ها به مدت ۱۰ دقیقه با دور ۲۰۰ rpm سانتریفیوژ شدند.

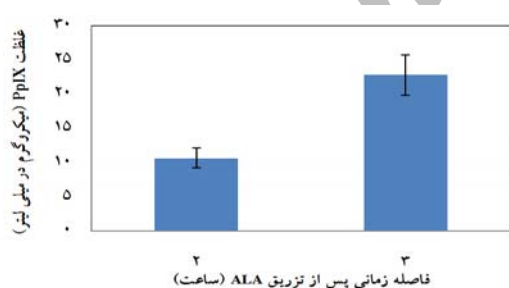
سپس به محلول شفاف حاصل غلظت‌های مشخصی از PpIX اضافه شد. برای دستیابی به منحنی استاندارد طیف فلورسانس محلول حاصل که درون کووت ریخته شده به وسیله سیستم طراحی شده که در شکل شماره ۱ نمایش داده شده و معروفی گردید، اندازه‌گیری شد. به منظور افزایش دقت، محلول نهایی متعلق به هر تومور پس از افزودن PpIX به سه بخش تقسیم شد و به این ترتیب از هر نمونه غلظت ۳ مرتبه اندازه‌گیری انجام شد. به این ترتیب منحنی استاندارد PpIX بر اساس فلورسانس اسپکتروسکوپی به دست آمد.

تجزیه و تحلیل آماری داده‌ها، پس از اطمینان از نرمال بودن توزیع داده‌ها در سطح اطمینان ۹۵ درصد، با استفاده از آزمون تی توسط نرم‌افزار SPSS V.12 انجام گرفته است.

منحنی استاندارد به دست آمده بر اساس روش فلوریمتری در شکل شماره ۴ نمایش داده شده است. با توجه به نتایج اشکال شماره ۲ و ۳ که معرف پیک فلورسانس نشری در حدود ۶۰۰ nm است، منحنی استاندارد بر اساس دامنه سیگنال فلورسانس نشری در طول موج ۶۰۰ nm است. بر اساس منحنی استاندارد PpIX به دست آمده و نتایج شکل شماره ۳، غلظت PpIX درون تومور در زمان‌های ۲ hr و ۳ hr پس از تزریق تعیین گردید (شکل شماره ۵).



شکل شماره ۴- منحنی استاندارد PpIX (داده‌ها نماینگر میانگین سه بار اندازه‌گیری \pm خطای استاندارد است) سیگنال نشری به روش فلوریمتری و در طول موج نشری ۶۰۰ nm و طول موج تحریک ۴۰۷ nm تعیین شده است.



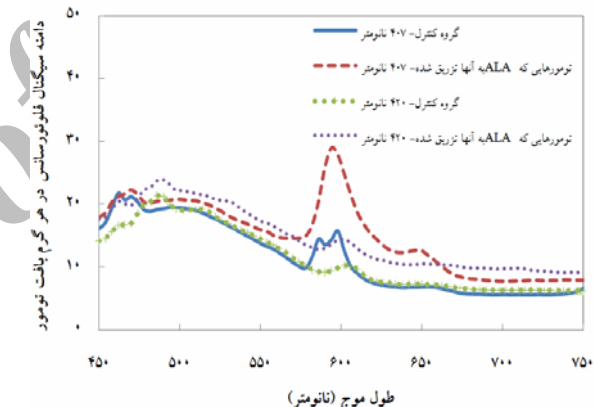
شکل شماره ۵- نمودار غلظت PpIX درون بافت تومور پس از تزریق ALA به میزان ۵۰۰ mg/kg و در زمان‌های ۲ ساعت و ۳ ساعت پس از تزریق (داده‌ها نماینگر سه بار اندازه‌گیری \pm خطای استاندارد است).

نتایج حاصل از فلورسانس اسپکتروسکوپی

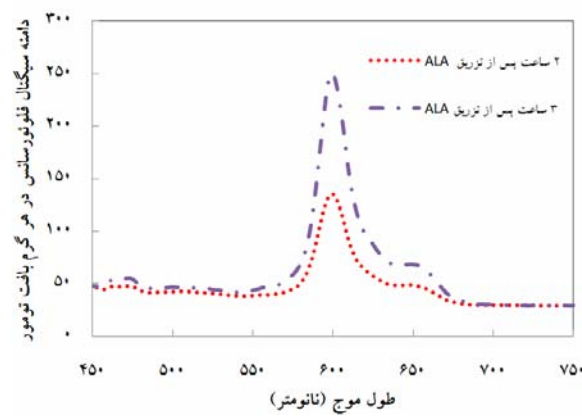
در استفاده از سیستم طراحی شده بر اساس روش فلورسانس اسپکتروسکوپی با توجه به اینکه

مطمئناً در زمان درمان PDT که طول موج درمانی ۶۳۰ nm تابش می‌شود هرچه تجمع دارو درون تومور بیشتر باشد، احتمال تولید تعداد مولکول‌های اکسیژن یگانه افزایش می‌یابد و به تبع آن نتیجه درمان نیز بهتر خواهد بود. در کاربردهای کلینیکی فاصله زمانی ۲ ساعت و ۳ ساعت پیشنهاد شده است.^(۱۶)

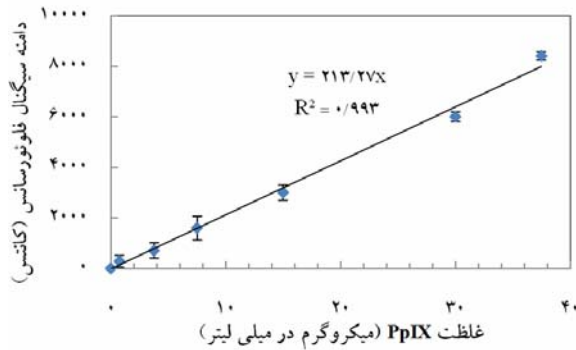
با توجه به گروه‌بندی موش‌ها در دو دسته G1 و G2 که بر اساس استخراج تومور و اندازه‌گیری طیف فلورسانس به ترتیب ۲ ساعت و ۳ ساعت پس از تزریق ALA بود، نتایج نشان داده شده در شکل شماره ۳ گویای این مسئله است که در فاصله زمانی ۳ ساعت پس از تزریق ALA به مراتب تجمع PpIX درون تومور بیشتر از ۲ ساعت است.



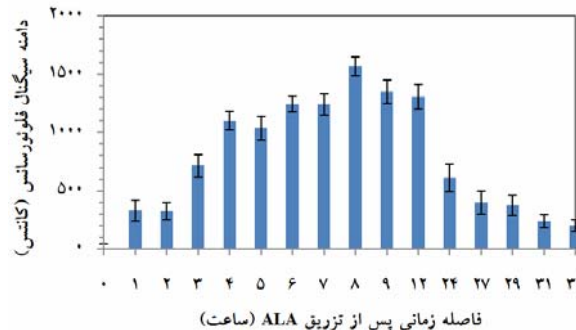
شکل شماره ۶- مقایسه دو طول موج ۴۰۰ nm و ۴۰۷ nm برای تحریک فلورسانس PpIX.



شکل شماره ۷- بررسی تأثیر فاصله زمانی بین تزریق ALA و آخذ طیف فلورسانس بر تجمع PpIX درون تومور



شکل شماره ۷- منحنی استاندارد PpIX تعیین شده به روش فلوروسانس اسپکتروسکوپی. (داده‌ها نماینگ میانگین سه بار اندازه‌گیری \pm خطای استاندارد است) نتایج در طول موج نشری ۶۳۵ nm و طول موج تحریک ۴۰۵ nm اخذ شده است.



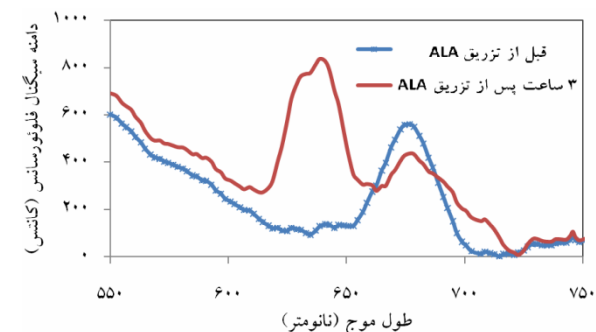
شکل شماره ۸- هیستوگرام شدت سیگنال فلوروسانس از سطح بافت تومور پر حسب فاصله زمانی پس از تزریق ALA به میزان ۲۰۰ mg/kg. داده‌ها نماینگ میانگین سه بار اندازه‌گیری از هر یک از ۳ موش \pm خطای استاندارد است. میانگین فلوروسانس ذاتی بافت قبل از تزریق ALA از تمام داده‌ها کم شده است.

بر اساس نتایج شکل شماره ۸ و منحنی استاندارد به دست آمده در شکل شماره ۷، غاظت PpIX موجود در بافت بر حسب زمان تعیین گردید که نتایج آن در شکل شماره ۹ نمایش داده شده است. در راستای نیل به هدف اصلی این تحقیق که تعیین غاظت PpIX درون بافت تومور می‌باشد و همچنین تعیین تابع زمانی توزیع پذیری PpIX پس از عبور دادن نمودار با درجات مختلف از داده‌ها، نمودار درجه ۳ بهترین همخوانی را با داده‌های موجود داشت و به این ترتیب معادله $y = 0.002x^3 - 0.110x^2 + 1.515x$ ($R^2 = 0.962$) که توصیف‌کننده غاظت PpIX درون

بافت هدف به عنوان تابعی از زمان است، به دست آمد.

طیف‌سنگی به طور غیرتهاجمی با استفاده از فیبر نوری و از روی تومور انجام می‌شود و مشابه فلوروسانس نیازی به استفاده از محلول‌های شیمیایی برای استخراج PpIX موجود در بافت نیست، جابجایی در پیک فلوروسانس نشری PpIX ظاهر نشد و همان طور که انتظار می‌رفت پیک در طول موج ۶۳۵ nm آشکار گردید. البته همان طور که در شکل شماره ۶ نشان داده شده است، یک پیک دیگر در طول موج ۶۷۵ nm نیز وجود دارد که با توجه به اینکه این پیک هم قبل از تزریق ALA و هم پس از آن وجود دارد، ناشی از ترکیبات کلروفیل موجود در بافت می‌باشد. بر اساس شدت سیگنال فلوروسانس نشری از محلول‌های بافت تومور که PpIX با غاظت‌های مشخصی به آن‌ها اضافه شده است، منحنی استاندارد PpIX بر اساس روش فلوروسانس اسپکتروسکوپی و سیستم معرفی شده، در شکل شماره ۷ نمایش داده شده است. منحنی استاندارد بر اساس دامنه سیگنال فلوروسانس نشری در طول موج ۶۳۵ nm است. در به دست آوردن این منحنی، به منظور حذف اثر فلوروسانس ذاتی بافت که ناشی از مواد فلوروسانس بافت می‌باشد، دامنه سیگنال فلوروسانس بلانک از تمام نمونه‌ها کم شده است.

با توجه به اینکه در این روش نیازی به کشتن موش‌ها و استخراج تومور نیست و تنها با بیهوش کردن موقت موش طیف فلوروسانس اخذ می‌شود، این امکان فراهم بود تا پروسه تجمع و دفع PpIX نیز بررسی شود. این کار در فواصل زمانی یک ساعت و به مدت ۳۴ ساعت انجام شد که نتایج آن در شکل شماره ۸ نشان داده شده است.



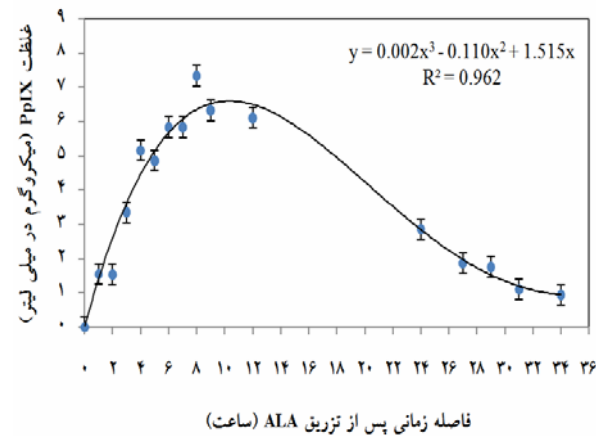
شکل شماره ۶- طیف فلوروسانس از سطح بافت تومور قبل و پس از تزریق ALA.

رخ می‌دهد از نظر به حداکثر رساندن اثربخشی درمان با حداقل تابش نور درمان حائز اهمیت می‌باشد. از سوی دیگر، تعیین مدت زمان لازم برای دفع دارو از بافت نیز به ویژه در کاربردهای کلینیکی این روش درمانی، از نقطه نظر دور نگهداشتن بیمار از نورهای شدید پس از درمان ارزشمند است.

علاوه بر این، مهم‌ترین دستاوردهای تحقیق دستیابی به روشنی است که بتوان غلظت PpIX را درون بافت هدف تعیین نمود. چرا که تحقیقات انجام شده بر روی حیوانات نشان می‌دهد که علی‌رغم استفاده از یک پروتکل کلینیکی معین که بر اساس دوز داروی مصرفی و دوز نور تابشی است، رنج پاسخ درمان فتوداینامیک بسیار گسترده می‌باشد؛ به طوری که هم شامل پاسخ درمانی کامل و هم هیچ گونه پاسخ درمانی است.^(۱۵)

اگرچه بخشی از تغییرات در پاسخ به درمان مربوط به تفاوت در شرایط بیولوژیک هر بیمار است اما مسئله مقدار داروی حساس‌کننده نوری درون بافت هدف، یکی از فاکتورهای تعیین‌کننده در نتیجه درمان می‌باشد. این امر ناشی از ارتباط مستقیم دوز اکسیژن یگانه تولید شده درون بافت هدف با حاصل ضرب دوز دارو و دوز نور تابشی است.^(۱۶) بنابراین چنانچه بتوان در زمان درمان غلظت دارو درون بافت هدف را به درستی تعیین نمود در این صورت می‌توان با افزایش یا کاهش چگالی انرژی تابشی به دوز کافی از اکسیژن یگانه دست یافت و به این ترتیب احتمال موفقیت درمان افزایش می‌یابد.

پیشرفت‌های اخیر در زمینه تکنیک‌های آشکارسازی سیگنال فلوئورسانس، تعیین دوز دارو در زمان درمان را میسر ساخته است. نتایج به دست آمده در این تحقیق بیانگر آن است که تعیین غلظت PpIX تجمع یافته درون تومور به هر دو روش فلوئوریمتری و فلوئورسانس اسپکتروسکوپی میسر می‌باشد؛ با این تفاوت که فلوئوریمتری نیاز به نمونه برداری از بافت تومور دارد و از این نظر روشی تهاجمی محسوب می‌شود.



شکل شماره ۹- غلظت PpIX درون تومور به عنوان تابعی از فاصله زمانی پس از تزریق ALA

بحث و نتیجه‌گیری

همان طور که از نمودار شکل شماره ۲ مشاهده می‌شود مناسب‌ترین طول موج برای تحریک فلوئورسانس PpIX طول موج ۴۰۷ nm است و بر این اساس در پیاده‌سازی سیستم فلوئورسانس اسپکتروسکوپی از نزدیک‌ترین لیزر موجود به این طول موج که ۴۰۵ nm است، استفاده شد. از سوی دیگر بر اساس نتایج به دست آمده به روش فلوئوریمتری که در شکل شماره ۵ نمایش داده شده است، با گذشت ۳ ساعت از تزریق ALA تجمع PpIX درون تومور بیشتر از ۲ ساعت است. این نتیجه توسط داده‌های حاصل از فلوئورسانس اسپکتروسکوپی نیز تایید می‌شود و علاوه بر این با توجه به غیرتهاجمی بودن فلوئورسانس اسپکتروسکوپی از سطح بافت تومور، امکان بررسی سایر زمان‌ها نیز میسر شد.

با توجه به نتایج نشان داده شده در شکل شماره ۹ بیشترین تجمع PpIX درون بافت ۸ ساعت پس از تزریق ALA می‌باشد و پس از آن پروسه دفع PpIX از بافت تومور شروع می‌شود که بر اساس روند نزولی نمودار شکل شماره ۹ پیش‌بینی می‌شود ۴۸ ساعت پس از تزریق ALA اثری از PpIX القایی باقی نماند. بحث تعیین زمانی که حداکثر تجمع PpIX درون بافت تومور

با توجه به اهمیت مسئله تعیین مقدار داروی تجمع یافته درون بافت هدف، هم در زمینه کاربردهای کلینیکی PDT و هم در زمینه مدل‌سازی دوزیمتری PDT که در واقع گامی در راستای بهینه‌سازی این روش درمانی می‌باشد، هر دو روش فلوئوریمتری و فلوئورسانس اسپکتروسکوپی مؤثر می‌باشند. البته فلوئورسانس اسپکتروسکوپی به دلیل غیرتهاجمی بودن و امکان اندازه‌گیری زمان حقيقی بر فلوئوریمتری برتری دارد.

از سوی دیگر، دوزیمتری دارو با این روش زمان بر می‌باشد و بنابراین نمی‌توان به شکل زمان حقيقی (Real time) از نتایج استفاده نمود. در مقابل، در فلوئورسانس اسپکتروسکوپی طیف فلوئورسانس نشری از سطح بافت به وسیله پروب فیبر نوری جمع‌آوری شده و به اسپکتروسکوپ منتقل می‌شود. بنابراین این روش غیرتهاجمی بوده و همچنین می‌توان به شکل زمان حقيقی و در زمان درمان از نتایج استفاده نمود.

فهرست منابع

- 1- Brown SB, Brown EA, Walker I. The present and future role of photodynamic therapy in cancer treatment. *Lancet Oncol*; 2004. 5: 497-508.
- 2- Marcus SL. Photodynamic therapy of human cancer. *Proceedings of the IEEE*; 1992. 80(6): 869-89.
- 3- Bown SG, Millson CE. Photodynamic therapy in gastroenterology. *Gut*; 1997. 41: 5-7.
- 4- Wilson BC, Patterson MS. The physics, biophysics and technology of photodynamic therapy. *Phys Med Biol*; 2008. 53: R61-R109.
- 5- Peng Q, Warloe T, Berg K, Moan J, Kongshaug M, Giercksky KE, et al. 5-Aminolevulinic acid-based photodynamic therapy, clinical research and future challenges. *Cancer*; 1997. 79: 2282-308.
- 6- Theodossiou T, MacRobert AJ. Comparison of the photodynamic effect of exogenous photoporphyrin and protoporphyrin IX on PAM 212 murine keratinocytes. *Photochem Photobiol*; 2002. 76: 530-37.
- 7- Stringer MR, Kelty CJ, Ackroyd R, Brown SB. Light dosimetry measurements during ALA-PDT of Barrett's oesophagus. *Photodiagnosis and Photodynamic Therapy*; 2006. 3: 19-26.
- 8- Juzenas P, Juzeniene A, Stakland S, Iani V, Moan J. Photosensitizing effect of protoporphyrin IX in pigmented melanoma of mice. *Biochem Biophys Res Commun*; 2002. 297(3): 468-72.
- 9- Peng Q, Moan J, Warloe T, Nesland JM, Rimington C. Distribution and photosensitizing efficiency of porphyrins induced by application of exogenous 5-aminolevulinic acid in mice bearing mammary carcinoma. *Int J Cancer*; 1992. 52: 433-43.
- 10- Sheng C, Hoopes PJ, Hasan T, Pogue BW. Photobleaching-based dosimetry predicts deposited dose in ALA-PpIX PDT of rodent esophagus. *Photochem Photobiol*; 2007. 83: 738-48.
- 11- Boere IA, Robinson DJ, de Brujin HS. Monitoring in situ dosimetry and protoporphyrin IX fluorescence photobleaching in the normal rat esophagus during 5-aminolevulinic acid photodynamic therapy. *Photochem Photobiol*; 2003. 78(3): 271-77.
- 12- Naghavi N, Miran Baygi MH. Modeling of laser-photosensitizer interaction in photodynamic therapy for determining the optimal laser radiation time. *IJMP*; 2006. 3(11): 69-78.
- 13- Otake M, Nishiwaki M, Kobayashi Y, Baba S, Kohno E, Kawasaki T, et al. Selective accumulation of ALA-induced PpIX and photodynamic effect in chemically induced hepatocellular carcinoma. *BJC*; 2003. 89: 730-36.
- 14- Robinson DJ, de Brujin HS, de Wolf WJ, Sterenborg HJCM, Star WM. Topical 5-aminolevulinic acid-photodynamic therapy of hairless mouse skin using two-fold illumination schemes: PpIX fluorescence kinetics, photobleaching and biological effect. *Photochem Photobiol*; 2000. 72: 794-802.
- 15- Kruijt B, de Brujin HS, van der Ploeg den Heuvel A, de Bruin RWF, Sterenborg HJCM, Amelink A, et al. Monitoring ALA-induced PpIX photodynamic therapy in the rat esophagus using fluorescence and reflectance spectroscopy. *Photochem Photobiol*; 2008. 84: 1515-527.
- 16- AAPM Report No. 88, Photodynamic therapy dosimetry. Published for the American Association of Physicists in Medicine by Medical Physics Publishing. 2005.

- 17- Zhou X, Pogue BW, Chen B, Demidenko E, Joshi R, Hoopes J, et al. Pretreatment photosensitizer dosimetry reduces variation in tumor response. *Int J Radiation Oncology Biol*; 2006. 64: 1211-219.
- 18- Mang TS. Dosimetric concepts for PDT. *Photodiagnosis and Photodynamic Therapy*; 2008. 5: 217-23.

Archive of SID

A Comparative Study of PpIX Dosimetry Produced within the Tumor after ALA Administration in Photodynamic Therapy By Fluorometry and Fluorescence Spectroscopy Methods

N. Naghavi, PhD^I *M.H. Miran Baygi, PhD^{II}
A. Sazgarnia, PhD^{III}

Abstract

Background: The important issue in the application of Photodynamic Therapy (PDT), as one of the fundamental basis of new treatment for cancerous lesions, is optimal dosimetry. In this context, it is necessary to obtain enough information about the drug concentration within the target tissue. On the other hand, the fact that ALA itself is not a photosensitizer and causes the production of Protoporphyrin IX (PpIX) in target tissue, determining the amount of PpIX produced in the target tissue is important for PDT dosimetry. Thus, in this study fluorometry and fluorescence spectroscopy have been investigated to determine the concentration of PpIX within the target tissue.

Methods: This study was carried out *in vivo* on CT26 cell line of Balb/c mouse. In this context, first by subcutaneous injection of 10^6 CT26 cells into right side of 18 Balb/c mice (6-8 weeks old, weighting 20-28 gr), colon carcinoma tumors were induced. Then, tissue concentration of PpIX was determined by using two methods: fluorometry and fluorescence spectroscopy. Statistical analysis of data, after ensuring normal distribution of data in the 95% confidence, was conducted using student's t-test in SPSS V.12 software.

Results: Based on the results, appropriate PpIX fluorescence excitation wavelength is 407 nm. Also, 8 hours after injection of ALA, PpIX accumulation reaches its maximum and then the process of drug discharge begins. Thus if there is no problem to keep the patient in the dark room, the best time for radiation of treatment laser is 8 hours after ALA injection. On the other hand, in both methods by measuring the fluorescence spectrum of tissue and based on the standard curve determined for PpIX, the concentration of PpIX within the tumor tissue was determined.

Conclusion: Considering the importance of determining the amount of drug accumulated within the tissue, both in clinical applications of PDT and modeling of PDT dosimetry which is a step in order to optimize this therapy, both methods; fluorometry and fluorescence spectroscopy; are effective. However fluorescence spectroscopy, as being noninvasive and allowing real time measurement, is preferred to fluorometry.

Keywords: 1) Photodynamic therapy 2) Fluorometry
3) Fluorescence spectroscopy 4) Protoporphyrin IX

This article is a summary of the thesis by N. Naghavi for the degree of Ph.D in Biomedical Engineering under supervision of M.H. Miran Baygi, Ph.D and consultation with A. Sazgarnia, Ph.D (2010).

I) PhD in Biomedical Engineering, Tarbiat Modares University, Tehran, Iran

II) Associate Professor of Biomedical Engineering, Department of Biomedical Engineering, Computer and Electrical School, Crossing of Jalal Al-Ahmad and Shahid Chamran Expressways, Tarbiat Modares University, Tehran, Iran (*Corresponding Author)

III) Assistant Professor of Medical Physics, Research Center of Medical Physics, Research Institute of Avicenna, Mashhad University of Medical Sciences and Health Services, Mashhad, Iran